

# 自动控制原理

中国科学技术大学  
工业自动化研究所

吴刚

2019年10月

# 第六章

## 线性反馈系统稳定性

# 目录

- 6.1 稳定性的概念
- 6.2 *Routh-Hurwitz*稳定性判据
- 6.3 反馈控制系统相对稳定性
- 6.4 状态变量系统稳定性
- 6.5 设计实例
- 6.6 应用控制设计软件分析系统稳定性
- 6.7 系列设计案例：磁盘驱动器读取系统
- 6.8 总结

# 习题

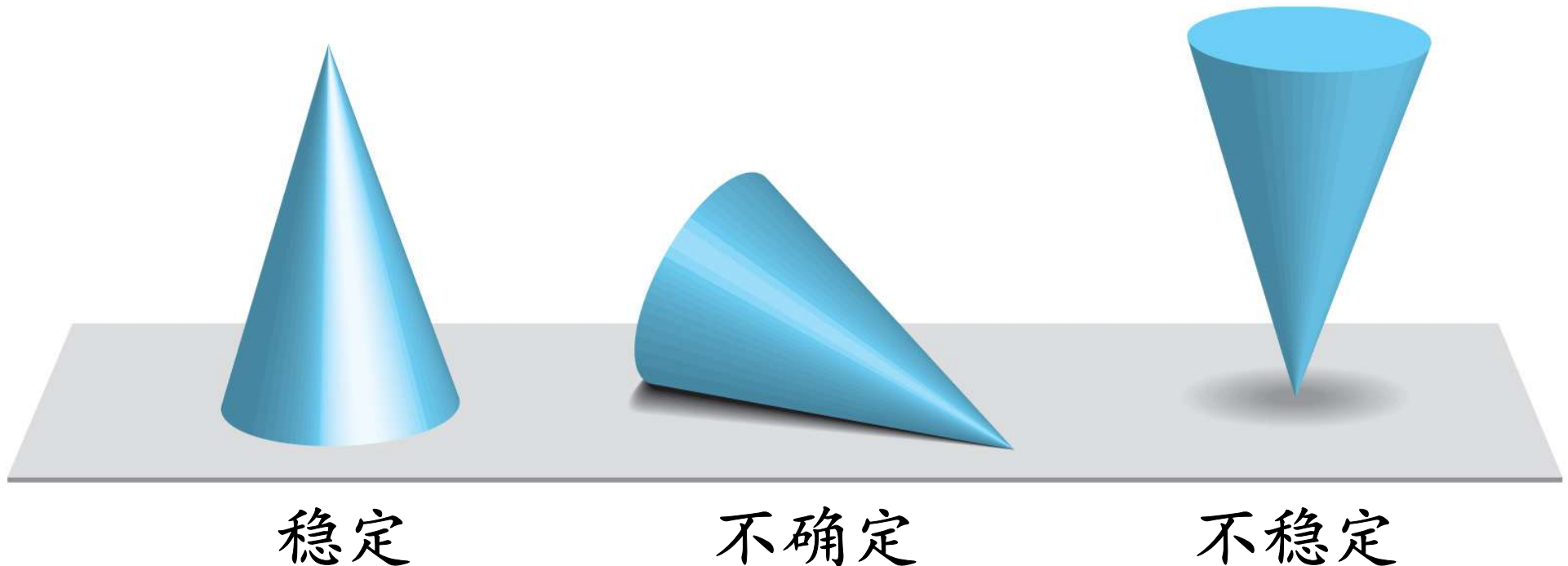
- **Skills Checks:** 全部
- **Exercises:** E6.4、E6.6、E6.11、E6.18、E6.22、E6.26
- **Problems:** P6.3、P6.4、P6.8、P6.16、P6.20
- **Advanced Problems:** AP6.3
- **Design Problems:** CDP6.1、DP6.2、DP6.3
- 作业说明：题目中要求高阶特征方程根的用**MATLAB**求解，在作业本上直接写出答案即可，另外要求画曲线和稳定区域的请用**MATLAB**作图，并集中在一起打印，贴到作业本上。

## 6.1 稳定性的概念

- 稳定是对自动控制系统最重要、最基本的要求
- 稳定性stability是控制工程、控制理论最重要的问题
- 分析、设计控制系统时，首先要考虑稳定性
- 不稳定系统，受到外部或内部扰动时，系统偏离原来的平衡工作点，并随时间推移而发散，即使扰动消失后，也不可能恢复原来的平衡状态
- 李雅普诺夫А. М. Ляпунов (Lyapunov)是常微分方程运动稳定性理论的创始人，1892年他的博士论文《运动稳定性的一般问题》奠定了常微分方程稳定性的理论基础

## 6.1 稳定性的概念

- 麦克风-功放-扬声器系统
- 稳定**stable**、不稳定**unstable**、临界稳定**critical stable**
- 绝对稳定性**absolute stability**
- 相对稳定性**relative stability**



## 6.1 稳定性的概念

**塔科马市纽约湾海峡悬索桥Tacoma Narrows Bridge**，位于美国华盛顿州普吉特海湾地区的塔科马市，全长1.6公里。

**第一座桥1938年开始建造，1940年7月1日通车，1940年11月7日倒塌，现在使用的是1950年重建的桥梁。**

**当时共有两个设计方案，第一个方案由克拉克·埃德里奇提出，桥面设计厚度7.6米；另一个方案由曾经参与设计金门大桥的设计师之一里昂·莫伊塞弗提出，为了降低造价，桥面设计厚度2.4米，成本从1100万美元降至800万美元。从经济角度考虑，采用了莫伊塞弗方案。**

## 6.1 稳定性的概念

通车仅几个星期，桥面便开始出现上下摆动。人们安装了摄影机，以便观测摆动。大风时，桥面摆动幅度甚至可达1.5米。许多人慕名驾车而来，感受振荡的刺激。后来桥面波动幅度不断增加，工程技术人员试图加建钢缆、液压缓冲装置降低波动，但不成功。

在持续数月的摆动下，桥梁最终于1940年11月7日倒塌。当天早上，海峡上的侧风发生变化，桥面的上下摆动突然停止，出现左右的扭摆。有两人被困在桥上，后来逃离现场。桥面在几分钟内陆续崩塌。倒塌过程被人们拍摄记录。







优酷



## 6.1 稳定性的概念

华盛顿州政府没有得到保险公司的赔偿，因为本该付给保险公司的保险费全部被保险经纪侵吞。

调查显示，原设计为了追求美观、省钱，桥面厚度不足，使用物料过轻，造成发生共振的破坏频率比较低，与海峡上自然风的频率接近，从而受到强风吹袭引起共振而不停摆动。

新桥的厚度增至10米，并在路面上加入气孔，使空气可在路面上穿越。新桥于1950年10月14日启用，两车道改为四车道，是目前全美第五长的悬索桥。

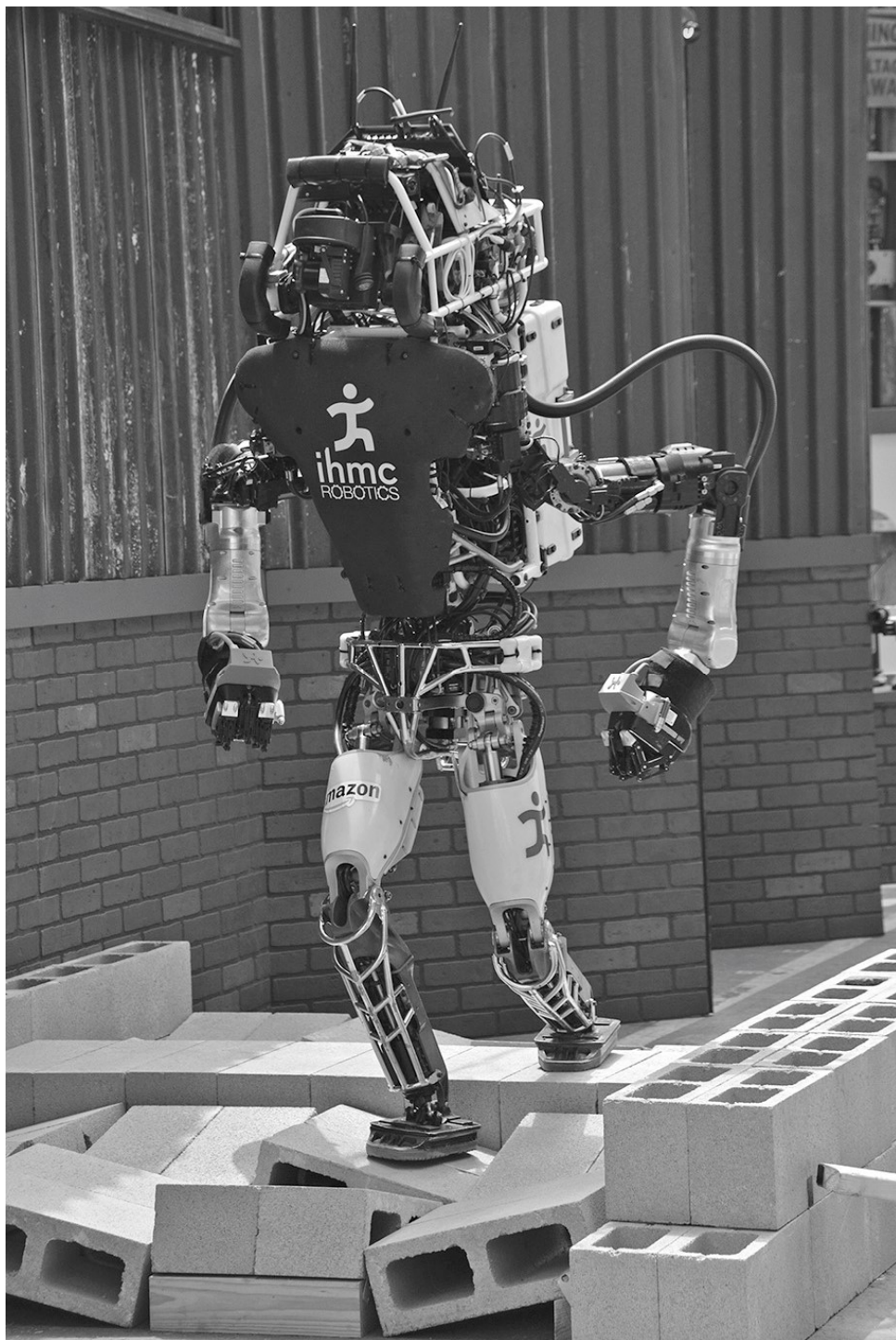
1998年在原桥东面加建一座新桥，是塔科馬海峡第三条悬索桥。

韩国汉城一个39层的购物中心，12层有20人跳踢搏Tae Bo，大楼摇晃10分钟，购物中心疏散两天。

专家研究认为，是剧烈运动引起的机械共振。







美国国防高级研究计划局DARPA举办的2015年机器人挑战赛上，佛罗里达的人类与机器认知研究所IHMC展示的能够直立行走的拟人机器人。显然，它本质上是不稳定的，必须通过闭环控制使其稳定。

## 6.1 稳定性的概念

- 线性定常系统输入信号 $r(t)=0$ 时(零输入响应), 在任何初始条件下, 当 $t \rightarrow \infty$ 时, 系统输出及各阶导数都为0, 即:

$$\lim_{t \rightarrow \infty} y(t) = 0$$

$$\lim_{t \rightarrow \infty} \dot{y}(t) = 0$$

⋮

$$\lim_{t \rightarrow \infty} y^{(n-1)}(t) = 0$$

则称该系统是渐近稳定的

## 6.1 稳定性的概念

➤ 假定  $n$  阶系统有一对共轭复极点，一个  $k$  重实极点，其余为单实极点； $y(0)=1$ ， $\dot{y}(0)=\dots=y^{(n-1)}(0)=0$ ；系统零输入响应：

$$y(t) = (b_1 \cos \beta t + b_2 \sin \beta t) e^{-\alpha t} + \left( \sum_{i=0}^{k-1} c_i t^i \right) e^{-pt} + \sum_{i=3}^{n-k} A_i e^{-p_i t}$$

$$\begin{aligned} \dot{y}(t) = & (d_1 \cos \beta t + d_2 \sin \beta t) e^{-\alpha t} + \\ & + \left( \sum_{i=0}^{k-1} e_i t^i \right) e^{-pt} + \sum_{i=3}^{n-k} -p_i A_i e^{-p_i t} \end{aligned}$$

⋮

$$\begin{aligned} y^{(n-1)}(t) = & (f_1 \cos \beta t + f_2 \sin \beta t) e^{-\alpha t} + \\ & + \left( \sum_{i=0}^{k-1} g_i t^i \right) e^{-pt} + \sum_{i=3}^{n-k} (-p_i)^{n-1} A_i e^{-p_i t} \end{aligned}$$



## 6.1 稳定性的概念

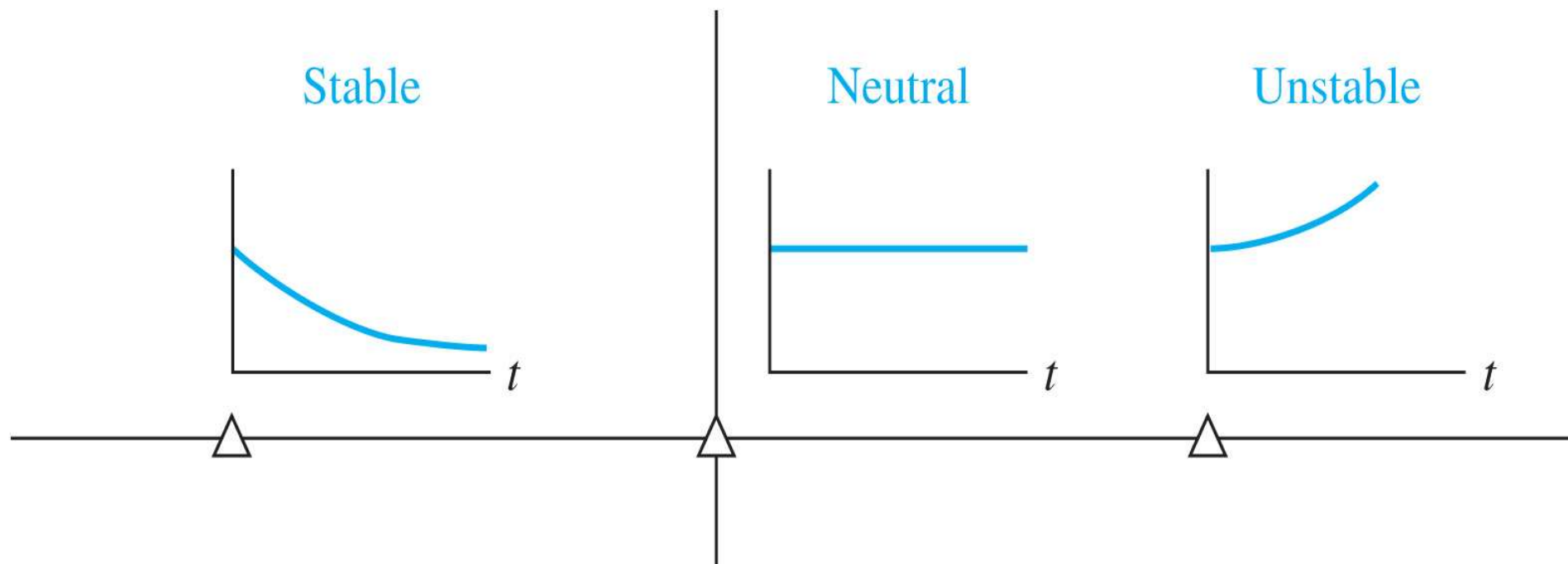
- 如果系统特征方程的根都具有负实部，则有：

$$\lim_{t \rightarrow \infty} y(t) = \lim_{t \rightarrow \infty} \dot{y}(t) = \dots = \lim_{t \rightarrow \infty} y^{(n-1)}(t) = 0$$

则系统渐近稳定

- **线性定常系统渐近稳定**的充分必要条件：系统全部极点都位于开左半 $S$ 平面，即系统特征方程的根都具有负实部
- 特征方程至少有一个根具有正实部， $t \rightarrow \infty$ 时，系统输出及各阶导数都趋于无穷大，系统**不稳定**
- 特征方程至少有一个根具有零实部，其余都具有负实部，当 $t \rightarrow \infty$ 时，系统输出趋于常数或等幅振荡（一对虚极点），系统**临界稳定**

## 6.1 稳定性的概念



$S$ 平面极点位置与线性定常系统渐近稳定性的关系

## 6.1 稳定性的概念

➤ 线性定常系统在零初始条件下，有界输入产生的输出响应也是有界的，则称为**有界输入有界输出稳定**系统(BIBO稳定系统)。

➤ 线性定常系统BIBO稳定，指在零初始条件下：

$$y(0)=\dot{y}(0)=\dots=y^{(n-1)}(0)=0 \text{ (零状态响应)}$$

➤ 如果输入信号有界：

$$|r(t)| \leq k_1 < \infty \\ 0 < t < \infty$$

➤ 则输出信号也有界：

$$|y(t)| \leq k_2 < \infty \\ 0 < t < \infty$$

## 6.1 稳定性的概念

- 线性定常系统**BIBO**稳定的充分必要条件是：系统传递函数全部极点都位于开左半 $S$ 平面
- **BIBO**稳定只表明系统对输出而言是稳定的，并不能保证系统内部所有状态都是稳定的。**BIBO**稳定反应了系统外部特性

➤ 系统传递函数中可能出现零极点对消

➤ 渐近稳定性反应了系统内在特性，因为：

$$\lim_{t \rightarrow \infty} y(t) = \lim_{t \rightarrow \infty} \dot{y}(t) = \dots = \lim_{t \rightarrow \infty} y^{(n-1)}(t) = 0$$

- 而 $y(t)$ ,  $\dot{y}(t)$ , ...,  $y^{(n-1)}(t)$ 表示系统的所有状态，故渐近稳定性表明系统内部所有状态都是稳定的
- 渐近稳定系统是**BIBO**稳定的，反之不一定成立

## 6.1 稳定性的概念

- 不稳定系统的特征方程至少有一个根位于右半 $S$ 平面，系统的输出对任何输入都是不稳定的。
- 如果特征方程有一对共轭根在虚轴上，而其他根均位于左半平面，则系统在有界的输入下，其稳态输出保持振荡；当输入为正弦波，且正弦波的角频率等于虚轴上根的幅值时，其输出变成无界的。系统称为临界稳定系统。
- 例如，若闭环系统的特征方程为：

$$(S+10)(S^2+16)=0$$

- 系统就是临界稳定的，如果系统由角频率 $\omega=4$ 的正弦信号所激励，则其输出变成无界的

## 6.1 稳定性的概念

➤ 研究系统稳定性主要有三种方法：

- 复频域法 ( $s$ 域)

- 频域法 ( $j\omega$ 域)

- 时域法

## 6.2 Routh-Hurwitz稳定性判据

- 通过系统极点或特征方程的根判断稳定性，需要求解特征方程，比较麻烦。如果只需要判别系统是否稳定，有没有简便方法，不用求解方程？
- *Routh-Hurwitz*稳定性判据不用求解系统特征方程即可确定系统稳定性
- 系统特征根(极点)为 $-r_i$ ，则系统特征方程为：

$$q(S)=0$$

$$=a_n S^n + a_{n-1} S^{n-1} + \dots + a_1 S + a_0$$

$$=a_n (S+r_1)(S+r_2) \dots (S+r_n)$$

- 系统稳定，所有极点为负实部，所有 $r_i$ 为正实部

## 6.2 Routh-Hurwitz稳定性判据

$$\begin{aligned} q(S) &= a_n(S+r_1)(S+r_2) \dots (S+r_n) \\ &= a_n S^n + a_n(r_1+r_2+\dots+r_n)S^{n-1} + \\ &\quad + a_n(r_1r_2+r_2r_3+r_1r_3+\dots)S^{n-2} + \\ &\quad + a_n(r_1r_2r_3+r_1r_2r_4+r_1r_2r_5+\dots)S^{n-3} + \dots \\ &\quad + a_n r_1 r_2 r_3 \dots r_n \\ &= a_n S^n + a_n (\text{所有根之和}) S^{n-1} + \\ &\quad + a_n (\text{所有根两两乘积之和}) S^{n-2} + \\ &\quad + a_n (\text{所有根三三乘积之和}) S^{n-3} + \dots \\ &\quad + a_n (\text{所有根乘积}) \\ &= 0 \end{aligned}$$



## 6.2 Routh-Hurwitz稳定性判据

- 必要条件：如果系统稳定，特征方程不缺项（不能有系数为0），各项的系数同号
- 不满足，肯定不稳定；满足，不一定稳定

$$q(S)=S^3+S^2+2S+8$$

$$=(S+2)(S^2-S+4)$$

$$=(s+2)\left(s-\frac{1}{2}+j\frac{1}{2}\sqrt{15}\right)\left(s-\frac{1}{2}-j\frac{1}{2}\sqrt{15}\right)$$

- 所有系数都同号，也不缺项（没有系数为0），但共轭复极点的实部为+0.5，是一对右半S平面的不稳定极点，系统不稳定

## 6.2 Routh-Hurwitz稳定性判据

- 一阶、二阶系统，特征方程所有系数同号，且不缺项(没有系数为0)，则系统稳定
- 三阶系统，特征方程所有系数同号、不缺项(没有系数为0)，且：

$$a_1 a_2 > a_0 a_3$$

则系统稳定

- 高阶系统怎么办？

## 6.2 Routh-Hurwitz稳定性判据

➤ *Routh-Hurwitz*稳定性判据是判断线性系统稳定性的充分必要条件

➤ 将特征方程按阶次由高到低排列：

$$q(S)=a_n S^n+a_{n-1} S^{n-1}+\dots+a_1 S+a_0=0$$

➤ 系数组成阵列或顺序表，构造*Routh*表的表头：

$S^n$	$a_n$	$a_{n-2}$	$a_{n-4}$	$\cdots$
$S^{n-1}$	$a_{n-1}$	$a_{n-3}$	$a_{n-5}$	$\cdots$

## 6.2 Routh-Hurwitz稳定性判据

➤ 计算Routh表的下一行:

$$\begin{array}{l|llll} s^n & a_n & a_{n-2} & a_{n-4} & \cdots \\ s^{n-1} & a_{n-1} & a_{n-3} & a_{n-5} & \cdots \\ s^{n-2} & b_{n-1} & b_{n-3} & b_{n-5} & \cdots \end{array}$$

$$b_{n-1} = -\frac{1}{a_{n-1}} \begin{vmatrix} a_n & a_{n-2} \\ a_{n-1} & a_{n-3} \end{vmatrix} = -\frac{a_n a_{n-3} - a_{n-1} a_{n-2}}{a_{n-1}}$$

$$b_{n-3} = -\frac{1}{a_{n-1}} \begin{vmatrix} a_n & a_{n-4} \\ a_{n-1} & a_{n-5} \end{vmatrix}$$

## 6.2 Routh-Hurwitz稳定性判据

➤ 计算Routh表的其他行:

$s^n$	$a_n$	$a_{n-2}$	$a_{n-4}$	$\dots$	
$s^{n-1}$	$a_{n-1}$	$a_{n-3}$	$a_{n-5}$		
$s^{n-2}$	$b_{n-1}$	$b_{n-3}$	$b_{n-5}$		$c_{n-1} = -\frac{1}{b_{n-1}} \begin{vmatrix} a_{n-1} & a_{n-3} \\ b_{n-1} & b_{n-3} \end{vmatrix}$
$s^{n-3}$	$c_{n-1}$	$c_{n-3}$	$c_{n-5}$		
$\vdots$	$\vdots$	$\vdots$	$\vdots$		$h_{n-1} = -\frac{1}{g_{n-1}} \begin{vmatrix} f_{n-1} & f_{n-2} \\ g_{n-1} & 0 \end{vmatrix}$
$s^2$	$f_{n-1}$	$f_{n-2}$			$= -\frac{f_{n-1} \times 0 - g_{n-1} f_{n-2}}{g_{n-1}}$
$s^1$	$g_{n-1}$				
$s^0$	$h_{n-1}$				$= f_{n-2}$

## 6.2 Routh-Hurwitz稳定性判据

### ➤ *Routh-Hurwitz*判据:

- 特征方程正实部根的个数等于*Routh*阵列第一列符号的变化次数。
  - 系统稳定的充分必要条件是，*Routh*阵列第一列中所有系数具有相同符号，且不能为0。
- 计算*Routh*阵列时，为了简化计算，可以用一个正数除任一行中的各个数字，而不影响最后的稳定性判断结果

## 6.2 Routh-Hurwitz稳定性判据

➤ *Routh*阵列第一列的构成，分为4种不同情况：

- 首列中没有元素为零
- 首列中有1个元素为零，零元素所在行中其余元素非零
- 首列中有1个元素为零，零元素所在行中其余元素均为零
- 首列中有1个元素为零，零元素所在行中其余元素均为零，且在虚轴上有重根

## 6.2 Routh-Hurwitz稳定性判据

➤ 情形1：首列中没有元素为零

➤ 例6.1 二阶系统，特征多项式：

$$q(S)=a_2S^2+a_1S+a_0$$

➤ Routh阵列：

$$\begin{array}{c|cc} s^2 & a_2 & a_0 \\ s^1 & a_1 & \\ s^0 & b_1 & \end{array} \quad b_1 = -\frac{1}{a_1} \begin{vmatrix} a_2 & a_0 \\ a_1 & 0 \end{vmatrix} = -\frac{a_2 \times 0 - a_0 a_1}{a_1} = a_0$$

➤ 如果系统稳定，要求 $a_2$ 、 $a_1$ 、 $a_0$  ( $b_1$ ) 同号

➤ 二阶系统稳定，要求所有系数全为正或全为负



## 6.2 Routh-Hurwitz稳定性判据

➤ **例6.2** 三阶系统，特征多项式：

$q(S)=a_3S^3+a_2S^2+a_1S+a_0$ ，Routh阵列：

$$\begin{array}{c|cc} s^3 & a_3 & a_1 \\ s^2 & a_2 & a_0 \\ s^1 & b_1 & \\ s^0 & c_1 & \end{array} \quad \begin{array}{l} b_1 = -\frac{a_3a_0 - a_1a_2}{a_2} \\ c_1 = -\frac{a_2 \cdot 0 - a_0b_1}{b_1} = a_0 \end{array}$$

- 系统稳定，要求 $a_3$ 、 $a_2$ 、 $b_1$ 、 $a_0$ ( $c_1$ )同号
- $b_1$ 、 $a_2$ 同号， $-(a_3a_0 - a_1a_2) > 0$ ，则 $a_1a_2 > a_3a_0$
- $a_3$ 、 $a_0$ 同号， $a_1a_2 > a_3a_0 > 0$ ，则 $a_1$ 、 $a_2$ 同号
- 三阶系统稳定的充分必要条件是特征多项式各个系数同号，并且 $a_1a_2 > a_3a_0$

## 6.2 Routh-Hurwitz稳定性判据

➤ 考虑特征多项式：

$$q(s) = s^3 + s^2 + 2s + 24 = (s - 1 + j\sqrt{7})(s - 1 - j\sqrt{7})(s + 3)$$

➤ 所有系数存在(非0)，并且同号(正值)，特征多项式满足系统稳定的必要条件。*Routh*阵列：

$s^3$	1	2
$s^2$	1	24
$s^1$	-22	
$s^0$	24	

➤ 首列中出现2次符号变化，可以判断 $q(s)$ 有2个根在右半 $S$ 平面，系统不稳定

## 6.2 Routh-Hurwitz稳定性判据

➤ 情形2：首列中有1个元素为零，零元素所在行中其余元素非零。*Routh*阵列中有1个元素为0，用小正数 $\varepsilon$ 代替它，补全阵列后再令 $\varepsilon$ 趋于零

特征多项式： $q(S)=S^5+2S^4+2S^3+4S^2+11S+10$

$$\begin{array}{c|ccc} s^5 & 1 & 2 & 11 \\ s^4 & 2 & 4 & 10 \\ s^3 & \varepsilon & 6 & \\ s^2 & c_1 & 10 & \\ s^1 & d_1 & & \\ s^0 & 10 & & \end{array}$$

$$c_1 = -\frac{12-4\varepsilon}{\varepsilon} = -\frac{12}{\varepsilon} + 4$$

$$d_1 = -\frac{10\varepsilon - 6c_1}{c_1} \rightarrow 6$$

➤ *Routh*阵列首列两次变号，系统不稳定，有两个根位于右半 $S$ 平面

## 6.2 Routh-Hurwitz稳定性判据

### ➤ 例6.3 不稳定系统

特征多项式:  $q(S)=S^4+S^3+S^2+S+K$

*Routh*阵列:

$$\begin{array}{c|ccc} s^4 & 1 & 1 & K \\ s^3 & 1 & 1 & \\ s^2 & \varepsilon & K & \\ s^1 & c_1 & & \\ s^0 & K & & \end{array}$$

$$c_1 = -\frac{K - \varepsilon}{\varepsilon} = -\frac{K}{\varepsilon} + 1 \rightarrow -\frac{K}{\varepsilon}$$

- $K > 0$ , 首列两次变号, 两个不稳定根, 不稳定
- $K < 0$ , 首列一次变号, 一个不稳定根, 不稳定
- $K = 0$ , 特征多项式缺项, 不稳定, 但根的情况呢?

## 6.2 Routh-Hurwitz稳定性判据

- 情形3：首列中有1个元素为零，零元素所在行中其余元素均为零
- 情形3包括：
  - 某行仅有一个元素，该元素为零
  - 某行所有元素都为零
- 此时多项式包含关于 $S$ 平面原点对称的奇异值，即出现 $(S+\sigma)(S-\sigma)$ 或 $(S+j\omega)(S-j\omega)$ 的因子
- 采用辅助多项式 $U(s)$ 解决这个问题。辅助多项式 $U(s)$ 中各项的系数对应于Routh阵列中零元素的前一行，各项的阶次都为偶数次，其阶次表示了对称出现的对称根的数目

## 6.2 Routh-Hurwitz稳定性判据

➤ 三阶系统特征多项式， $K$ 为可调的环路增益：

$$q(S)=S^3+2S^2+4S+K$$

➤ *Routh*阵列：

$$\begin{array}{c|cc} s^3 & 1 & 4 \\ s^2 & 2 & K \\ s^1 & -\frac{K-8}{2} & \\ s^0 & K & \end{array}$$

➤  $0 < K < 8$ 时，首列符号不变，系统稳定

➤  $K > 8$ 时，首列符号变化两次，系统有两个不稳定特征根，系统不稳定

## 6.2 Routh-Hurwitz稳定性判据

- $K=8$ 时，第三行仅有一个元素，且为0。辅助多项式  $U(s)$  是全零元素行的前一行，即：

$$\begin{aligned}U(s) &= 2s^2 + Ks^0 \\&= 2s^2 + 8 \\&= 2(s^2 + 4) \\&= 2(s + j2)(s - j2)\end{aligned}$$

- $K=8$ 时，系统临界稳定，虚轴上有两个根
- 辅助多项式  $U(s)$  是特征多项式的因子，以  $U(s)$  除  $q(s)$ ，得：

## 6.2 Routh-Hurwitz稳定性判据

$$\begin{array}{r} \frac{1}{2}s + 1 \\ 2s^2 + 8 \overline{) s^3 + 2s^2 + 4s + 8} \\ \underline{s^3 \qquad \qquad + 4s} \qquad \qquad \\ 2s^2 \qquad \qquad + 8 \\ \underline{2s^2 \qquad \qquad + 8} \end{array}$$

➤ 当  $K=8$  时，特征多项式的因式分解为：

$$q(s) = (\frac{1}{2}s + 1)(2s^2 + 8) = (s + 2)(s + j2)(s - j2)$$

➤ 临界稳定系统的响应会出现持续振荡，实践中往往无法接受



## 6.2 Routh-Hurwitz稳定性判据

➤ 辅助多项式 $U(s)$ 对 $s$ 求导，用得到的多项式的系数代替全为零那一行的系数，按规则继续计算

➤ 系统特征多项式：

$$q(S)=S^5+2S^4+25S^3+50S^2+24S+48=0$$

$$\begin{array}{c|ccc} s^5 & 1 & 25 & 24 \\ s^4 & 2 & 50 & 48 \\ s^3 & 0 & 0 & \end{array}$$

➤ 第三行全为0，取前一行构造辅助多项式：

$$U(S)=2S^4+50S^2+48$$

## 6.2 Routh-Hurwitz稳定性判据

➤ 对 $U(s)$ 求导，用所得多项式系数代替第三行系数：

$$\dot{U}(s) = 8s^3 + 100s$$

$s^5$	1	25	24
$s^4$	2	50	48
$s^3$	8 (2)	100 (25)	
$s^2$	25	48	
$s^1$	$\frac{529}{25}$		
$s^0$	48		

## 6.2 Routh-Hurwitz稳定性判据

➤ 首列没有变号，所以没有正实部的根

$$\begin{aligned}U(S) &= 2S^4 + 50S^2 + 48 \\&= 2(S^4 + 25S^2 + 24) \\&= 2(S^2 + 1)(S^2 + 24)\end{aligned}$$

➤ 特征方程有：

一个实数根  $S_1 = -2$

两对共轭虚根  $S_{2,3} = \pm j$ 、 $S_{4,5} = \pm j2\sqrt{6}$

➤ 系统临界稳定

## 6.2 Routh-Hurwitz稳定性判据

- 情形4：首列中有1个元素为零，零元素所在行中其余元素均为零，且在虚轴上有重根
- 特征方程在虚轴上有单根（一对虚根），系统既不是稳定的，也不是不稳定的，称为临界稳定，具有不衰减的正弦模态
- 虚根是重根，系统响应有 $t \sin(\omega t + \varphi)$ 的形式，响应发散，系统不稳定。**Routh-Hurwitz判据不能发现这种形式的不稳定**

## 6.2 Routh-Hurwitz稳定性判据

➤ 系统特征多项式:

$$\begin{aligned}q(S) &= (S+1)(S+j)(S-j)(S+j)(S-j) \\ &= S^5 + S^4 + 2S^3 + 2S^2 + S + 1\end{aligned}$$

$s^5$	1	2	1
$s^4$	1	2	1
$s^3$	$\varepsilon$	$\varepsilon$	
$s^2$	1	1	
$s^1$	$\varepsilon$		
$s^0$	1		

## 6.2 Routh-Hurwitz稳定性判据

- $\varepsilon \rightarrow 0$ , 首列元素没有变号, 容易错误判定系统临界稳定。而系统冲激响应  $t \sin(t+\varphi)$  随时间增大
- 与  $S^4$  行对应的辅助多项式为:  $S^4 + 2S^2 + 1 = (S^2 + 1)^2$
- 与  $S^2$  行对应的辅助多项式为:  $S^2 + 1$
- 特征方程虚轴上有重根

## 6.2 Routh-Hurwitz稳定性判据

➤ 例6.4 虚轴上有根的五阶系统

➤ 特征多项式:

$$q(s) = s^5 + s^4 + 4s^3 + 24s^2 + 3s + 63$$

$s^5$	1	4	3
$s^4$	1	24	63
$s^3$	-20	-60	
$s^2$	21	63	
$s^1$	0		

## 6.2 Routh-Hurwitz稳定性判据

➤ 辅助多项式为：

$$\begin{aligned}U(s) &= 21s^2 + 63 \\&= 21(s^2 + 3) \\&= 21(s + j\sqrt{3})(s - j\sqrt{3})\end{aligned}$$

➤  $U(s)$ 在虚轴上有2个根。

➤ 为检验特征多项式的其他根，用特征多项式除以辅助多项式，得：

$$\frac{q(s)}{s^2 + 3} = s^3 + s^2 + s + 21$$



## 6.2 Routh-Hurwitz稳定性判据

➤ 对新的多项式，建立*Routh*阵列：

$$\begin{array}{c|cc} s^3 & 1 & 1 \\ s^2 & 1 & 21 \\ s^1 & -20 & 0 \\ s^0 & 21 & 0 \end{array}$$

➤ 首列元素出现2次变号，说明系统特征多项式还有两个根位于右半*S*平面，因而系统不稳定的。

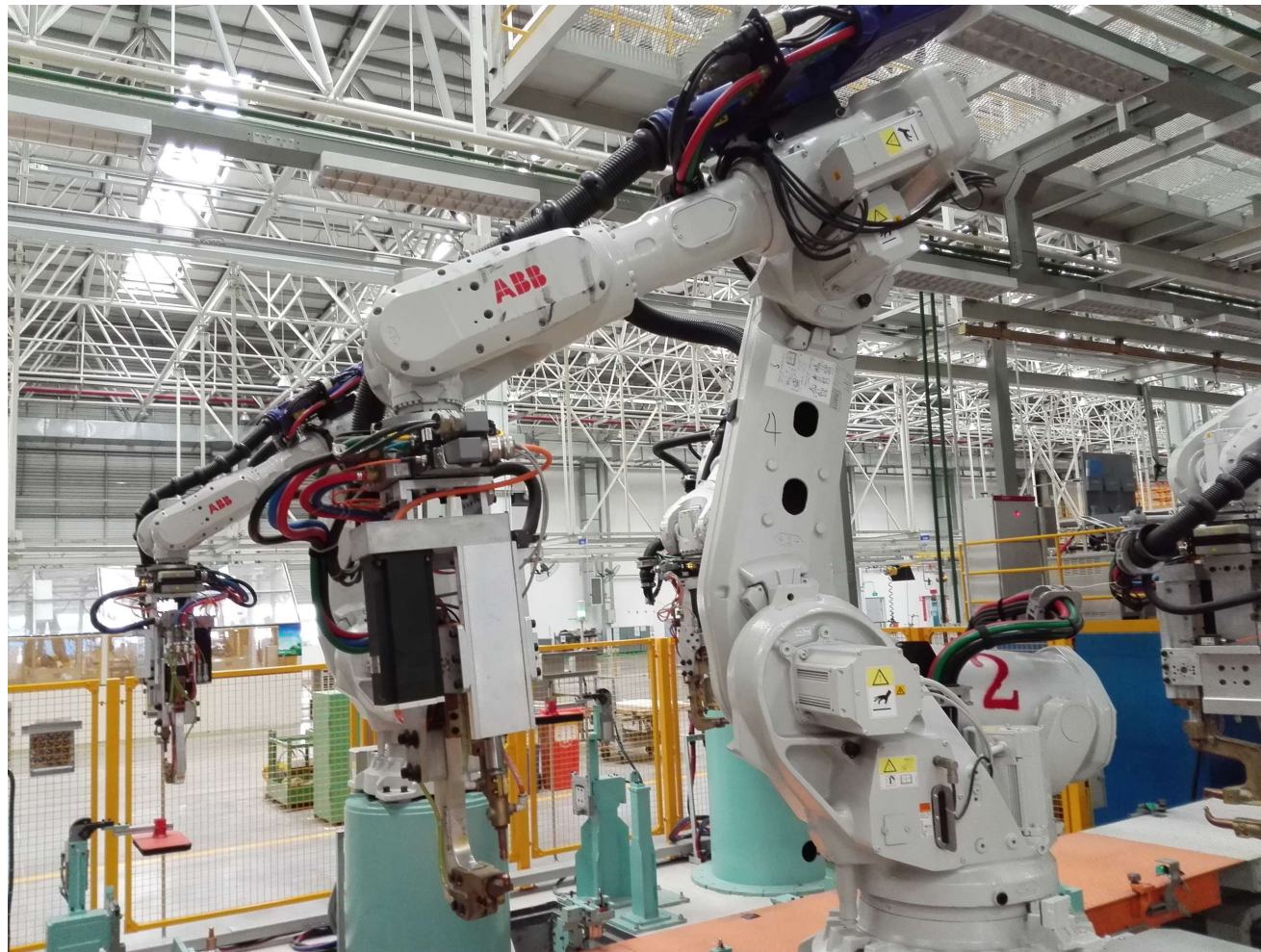
➤ 计算可得，位于右半平面的根为：

$$s = +1 \pm j\sqrt{6}$$

## 6.2 Routh-Hurwitz稳定性判据

### ➤ 例6.5 焊接控制

焊接机器人在汽车厂广泛应用，焊接头定位系统需要快速、精确的响应

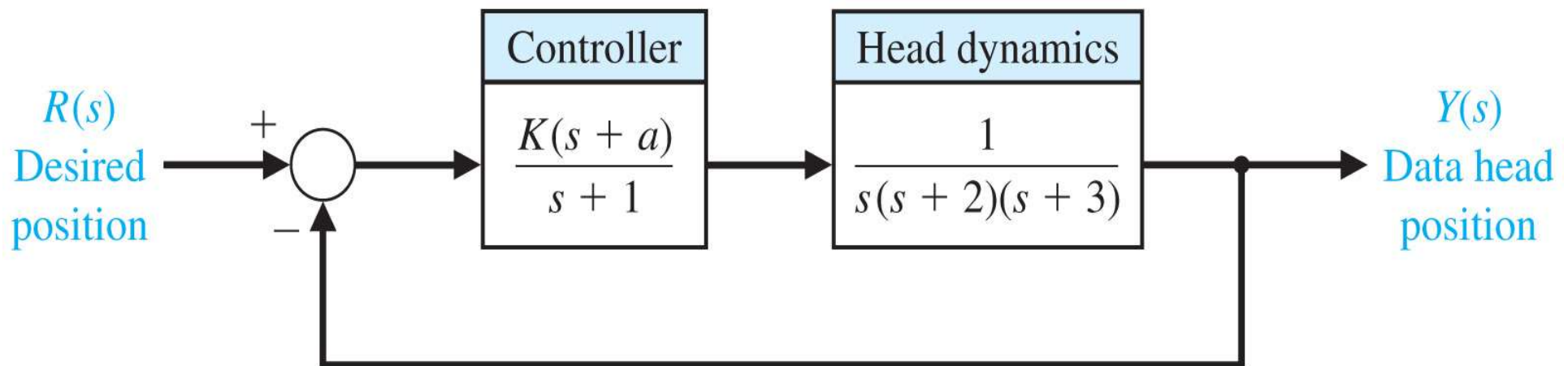


## 6.2 Routh-Hurwitz稳定性判据

➤ 确定使系统稳定的 $K$ 和 $a$ 的范围。系统特征方程：

$$1 + G(s) = 1 + \frac{K(s + a)}{s(s + 1)(s + 2)(s + 3)} = 0$$

$$\begin{aligned} q(S) &= S(S+1)(S+1)(S+1) + K(S+a) \\ &= S^4 + 6S^3 + 11S^2 + (K+6)S + Ka \\ &= 0 \end{aligned}$$



## 6.2 Routh-Hurwitz稳定性判据

$s^4$	1	11	$Ka$	$b_3 = -\frac{(K+6) - 6 \times 11}{6} = -\frac{K-60}{6}$
$s^3$	6	$K+6$		
$s^2$	$b_3$	$Ka$		$c_3 = -\frac{6Ka - b_3(K+6)}{b_3}$
$s^1$	$c_3$			
$s^0$	$Ka$			

$$b_3 > 0 \quad \rightarrow \quad K < 60$$

$$c_3 > 0 \quad \rightarrow \quad (K-60)(K+6) + 36Ka < 0$$

$$Ka > 0 \quad \rightarrow \quad K > 0, \quad a > 0 \quad (K < 0, \quad a < 0 \text{ 正反馈, 舍弃})$$

$$0 < K < 60$$

$$0 < a < \frac{(60-K)(K+6)}{36K}$$

$$\text{如果 } K=40, \text{ 则 } 0 < a < 0.639$$

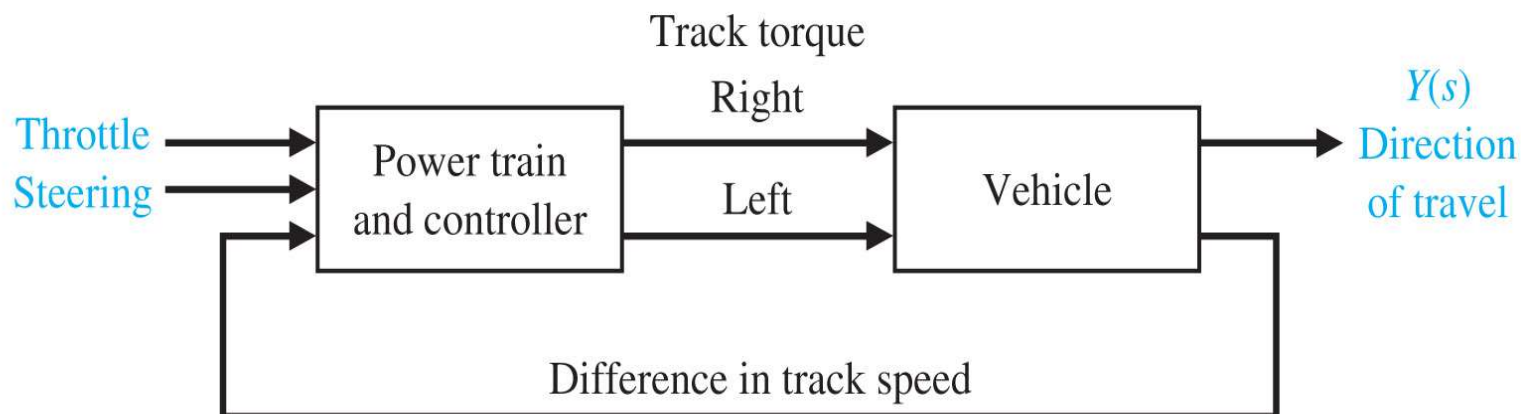
## 6.3 反馈控制系统相对稳定性(略)

## 6.4 状态变量系统的稳定性(略)

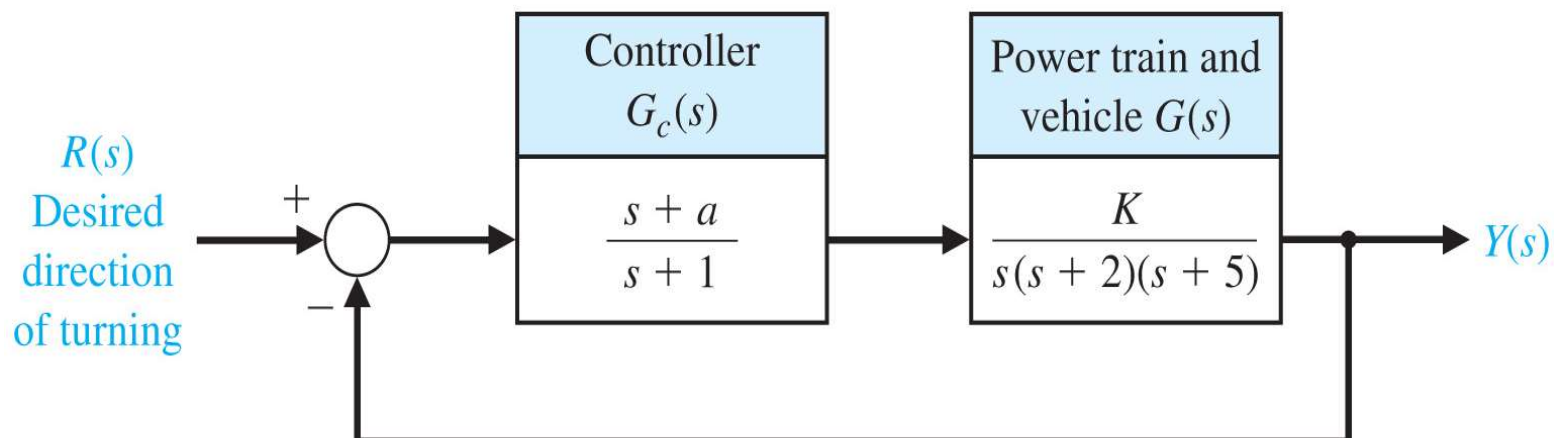
## 6.5 设计实例

### ➤ 例6.10 履带车转弯控制

转弯时，履带车的两组履带以不同速度运行



双履带车转弯控制系统



方框图

## 6.5 设计实例

- 设计目标：选择参数 **$K$** 和 **$a$** 使系统稳定，对斜坡输入的稳态误差小于或等于指令幅度的**24%**
- 反馈系统特征方程：

$$1+G_c G(s)=0$$

$$G(s) = \frac{K}{s(s+2)(s+5)}, \quad G_c(s) = \frac{s+a}{s+1}$$

$$1 + \frac{K(s+a)}{s(s+1)(s+2)(s+5)} = 0$$

$$S(S+1)(S+2)(S+5)+K(S+a)=0$$

$$S^4+8S^3+17S^2+(K+10)S+Ka=0$$



## 6.5 设计实例

➤ **Routh**阵列:

$$\begin{array}{c|ccc} s^4 & 1 & 17 & Ka \\ s^3 & 8 & K+10 & 0 \\ s^2 & b_3 & Ka & \\ s^1 & c_3 & & \\ s^0 & Ka & & \end{array} \quad \begin{aligned} b_3 &= -\frac{(K+10)-8 \times 17}{8} \\ &= -\frac{K-126}{8} \\ c_3 &= -\frac{8Ka - b_3(K+10)}{b_3} \end{aligned}$$

➤ 要求系统闭环稳定, 则首列元素不变号, 有:

$$b_3 > 0 \quad \rightarrow \quad K < 126$$

$$c_3 > 0 \quad \rightarrow \quad (K+10)(K-126) + 64Ka < 0$$

$$Ka > 0 \quad \rightarrow \quad \begin{cases} K > 0, a > 0 \\ K < 0, a < 0 \end{cases} \quad (\text{系统正反馈, 舍弃})$$

## 6.5 设计实例

$$\begin{cases} 0 < K < 126 \\ 0 < a < \frac{(K+10)(126-K)}{64K} \end{cases}$$

➤ 对斜坡输入  $r(t)=At$ ,  $t>0$ , 系统稳态误差为:

$$K_v = \lim_{s \rightarrow 0} s G_c G = \lim_{s \rightarrow 0} s \frac{s+a}{s+1} \frac{K}{s(s+2)(s+5)} = \frac{Ka}{10}$$

$$e_{ss} = \frac{A}{K_v} = \frac{10A}{Ka} \leq 24\%A \quad \Rightarrow \quad Ka \geq 41.67$$

若取:  $Ka=42$

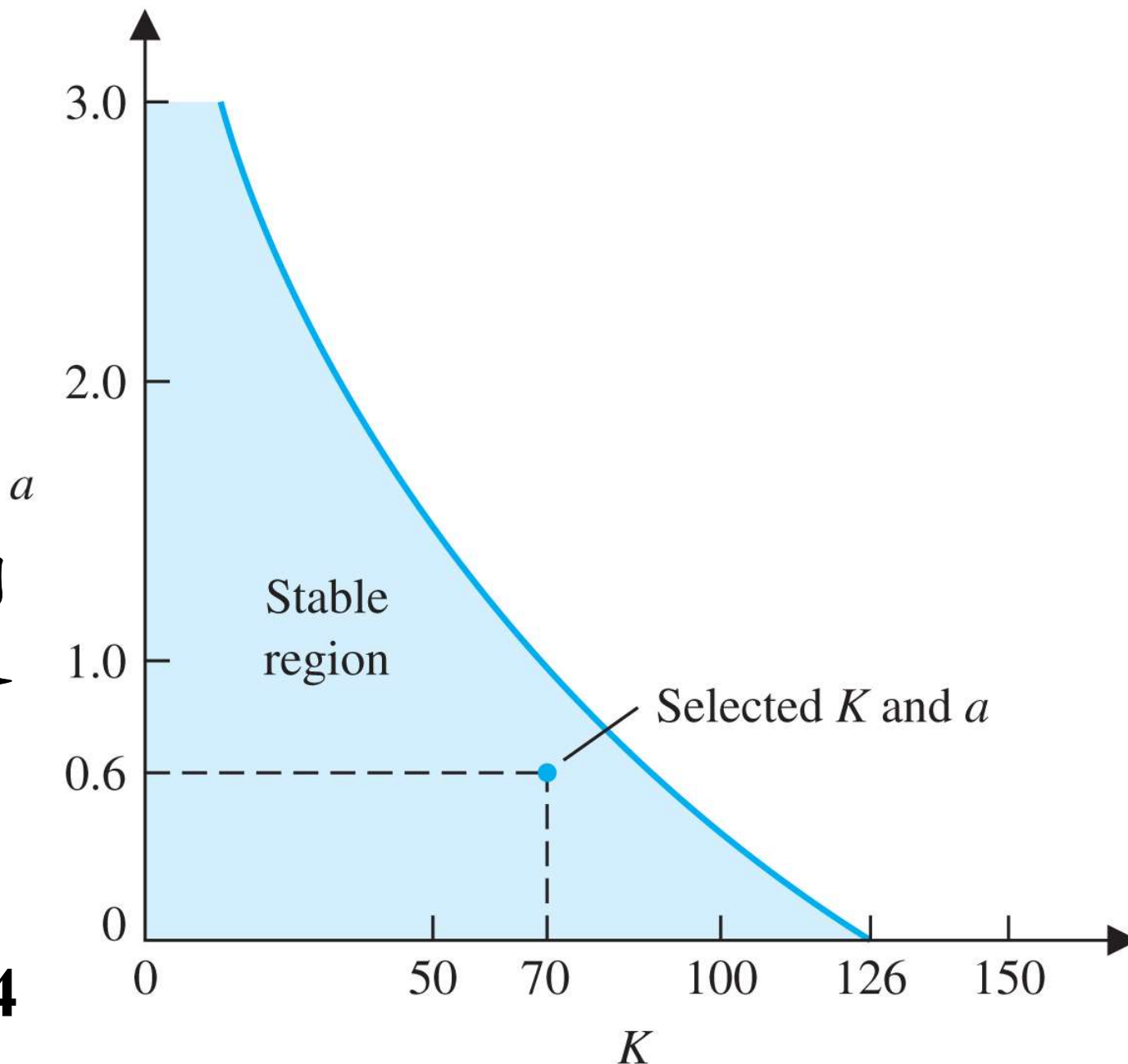
有:  $e_{ss}=23.8\%A < 24\%A$

## 6.5 设计实例

在稳定区域内  
有一系列满足  
 $Ka=42$ 的参数  
组合，如：

$K=70$ 、 $a=0.6$

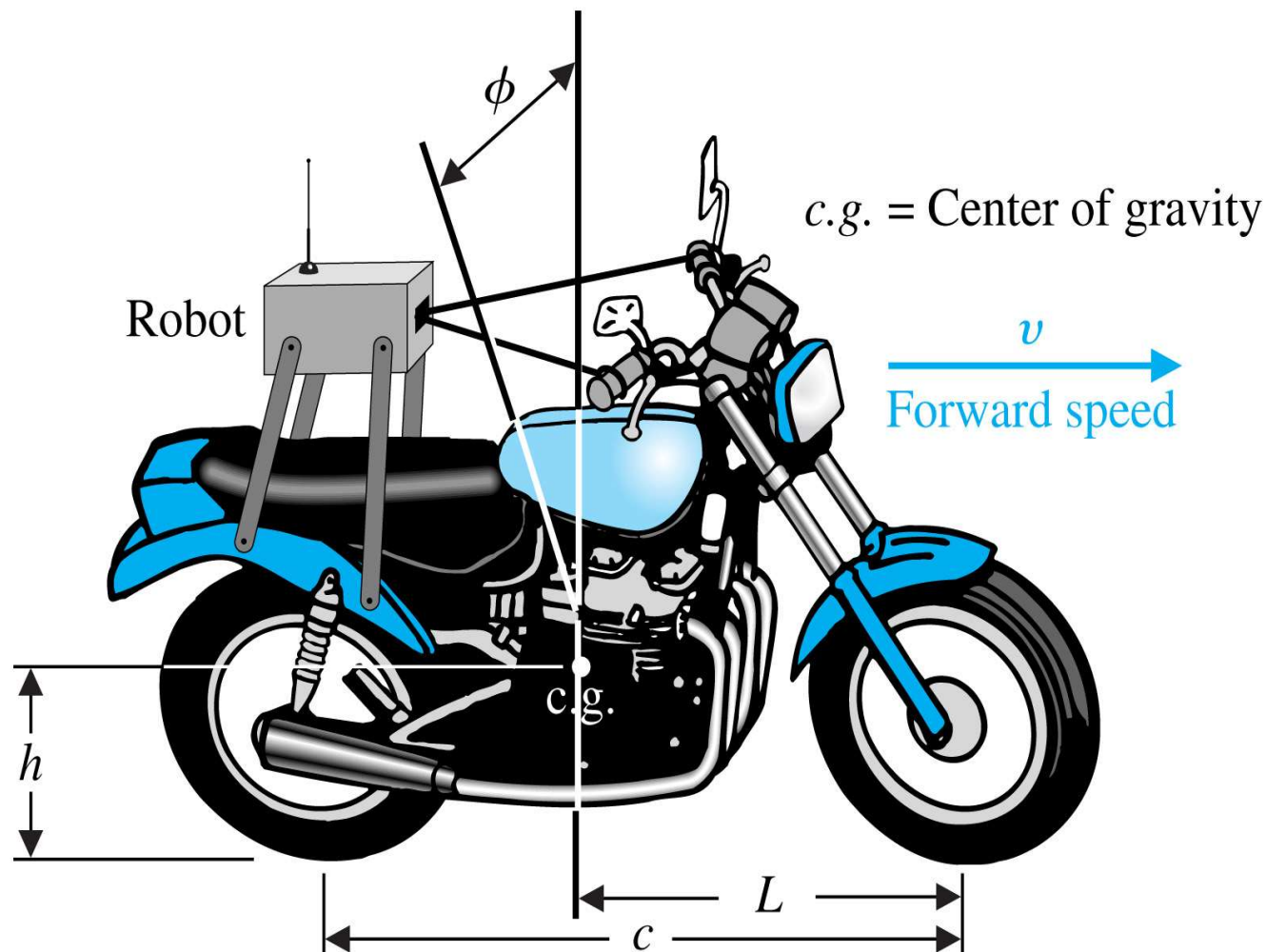
$K=50$ 、 $a=0.84$



## 6.5 设计实例

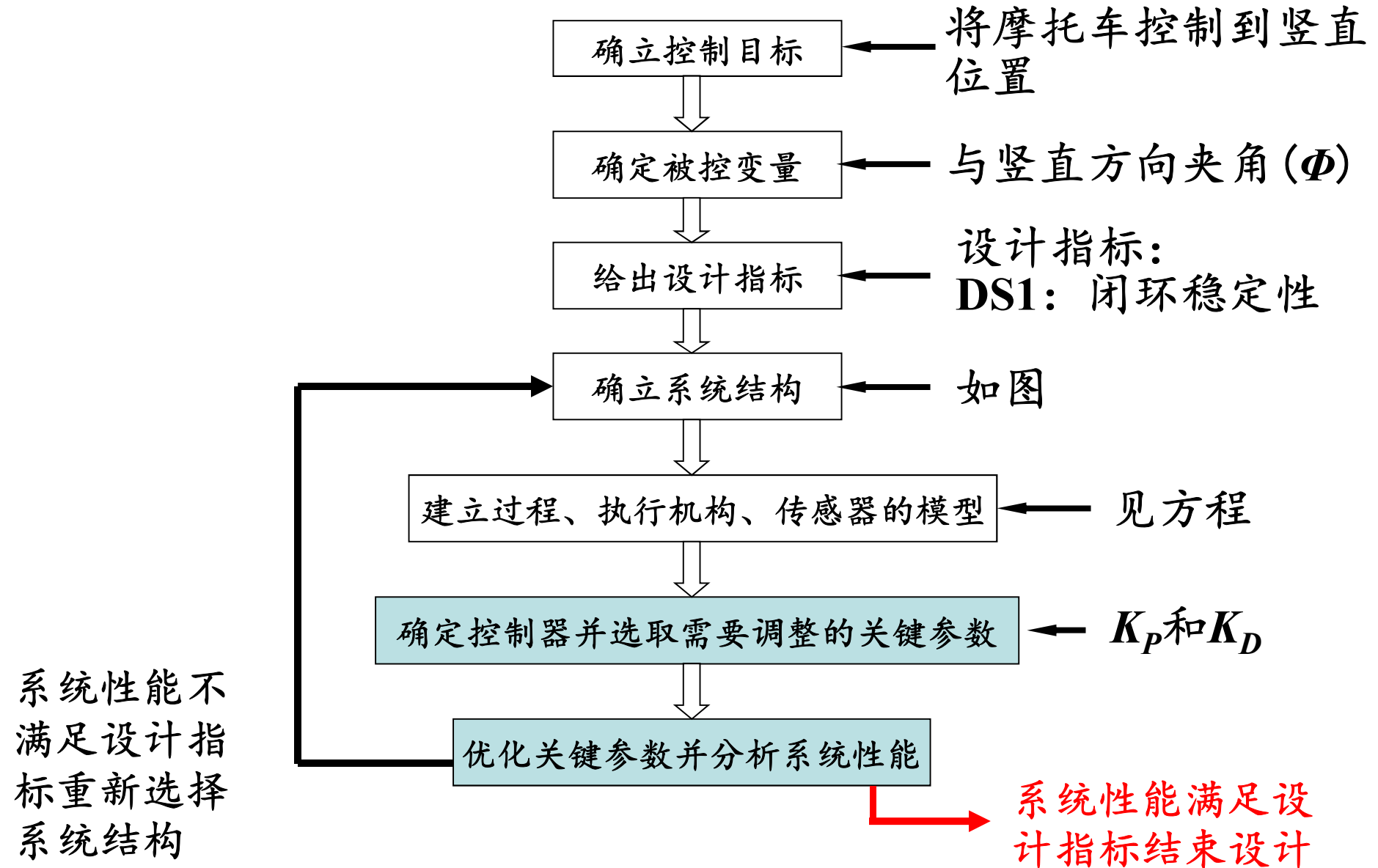
### ➤ 例6.11 机器人控制的摩托车

摩托车以恒定的前进速度 $v$ 直线运动， $\phi$ 表示摩托车对称面与竖直方向的夹角，期望角度为 $0^\circ$



## 6.5 设计实例

### ➤ 机器人控制的摩托车控制系统设计过程中的要素



## 6.5 设计实例

- **控制目标**：将摩托车控制在竖直位置，出现扰动时保持规定位置
- **被控变量**：摩托车位置与竖直方向的夹角 $\Phi$
- **设计指标**：**DS1**：闭环系统必须稳定
- **系统结构**：摩托车、机器人、控制器、反馈测量元件
- **系统模型**：
  - 摩托车模型：

$$G(s) = \frac{1}{s^2 - \alpha_1}, \quad \text{极点 } s = \pm\sqrt{\alpha_1}, \quad \alpha_1 = \frac{g}{h}, g = 9.8\text{m/s}^2$$

- $h$ 是摩托车重心距地面高度，摩托车不稳定

## 6.5 设计实例

■ 机器人控制器模型：

$$G_c(s) = \frac{\alpha_2 + \alpha_3 s}{\tau s + 1}$$

$$\alpha_2 = \frac{v^2}{hc}, \quad \alpha_3 = \frac{vL}{hc}$$

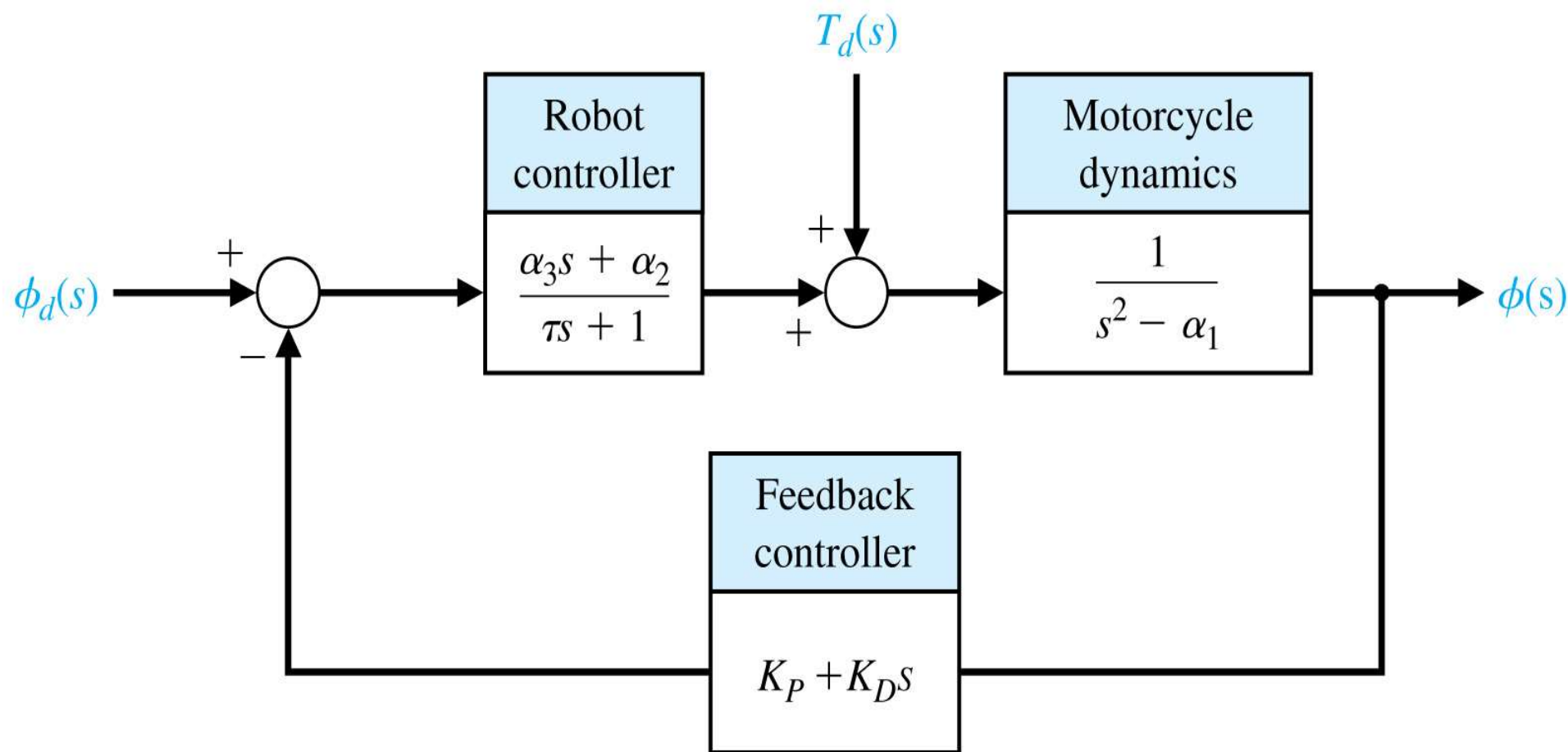
$v$ ：摩托车前进速度；

$c$ ：前后轮的轴距；

$L$ ：前轮轮轴与摩托车重心之间的水平距离；

$\tau$ ：机器人控制器的时间常数，它代表机器人控制器的响应速度， $\tau$ 越小响应速度越快

## 6.5 设计实例



机器人控制摩托车反馈控制系统方框图



## 6.5 设计实例

- 选择关键调整参数：反馈增益 $K_P$ 和 $K_D$
- 采用*Routh-Hurwitz*判据分析闭环系统稳定性
- 闭环传递函数：

$$T(s) = \frac{\phi(s)}{\phi_d(s)}$$
$$= \frac{\alpha_2 + \alpha_3 s}{q(s)}$$

$$q(s) = \tau s^3 + (1 + K_D \alpha_3) s^2 + (K_D \alpha_2 + K_P \alpha_3 - \tau \alpha_1) s + K_P \alpha_2 - \alpha_1$$
$$= 0$$

## 6.5 设计实例

物理参数	
$\tau$	<b>0.2    <math>s</math></b>
$\alpha_1$	<b>9      <math>1/s^2</math></b>
$\alpha_2$	<b>2.7    <math>1/s^2</math></b>
$\alpha_3$	<b>1.35   <math>1/s</math></b>
$h$	<b>1.09   <math>m</math></b>
$v$	<b>2.0    <math>m/s</math></b>
$L$	<b>1.0    <math>m</math></b>
$c$	<b>1.36   <math>m</math></b>

## 6.5 设计实例

Routh阵列:

$$\begin{array}{c|cc}
 s^3 & \tau & K_D\alpha_2 + K_P\alpha_3 - \tau\alpha_1 \\
 s^2 & 1 + K_D\alpha_3 & K_P\alpha_2 - \alpha_1 \\
 s^1 & a & \\
 s^0 & K_P\alpha_2 - \alpha_1 & 
 \end{array}$$

$$a = -\frac{\tau(K_P\alpha_2 - \alpha_1) - (K_D\alpha_2 + K_P\alpha_3 - \tau\alpha_1)(1 + K_D\alpha_3)}{1 + K_D\alpha_3}$$

➤ 系统稳定，要求首列元素不变号，因为 $\tau > 0$ ，有：

$$K_D > -\frac{1}{\alpha_3} = -0.74$$

$$a > 0$$

$$K_P > \frac{\alpha_1}{\alpha_2} = 3.33$$

## 6.5 设计实例

➤ 选择:

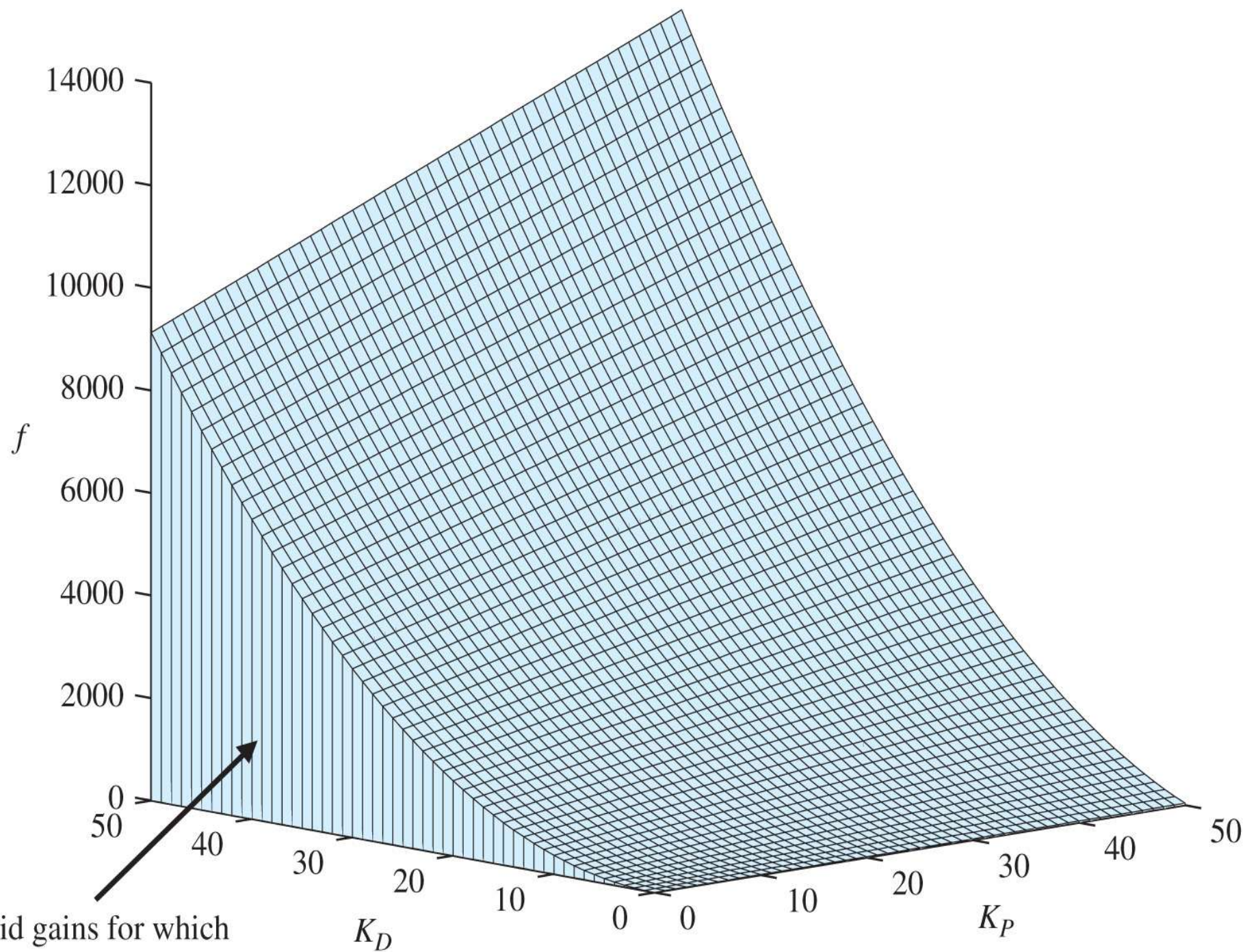
$$\begin{cases} K_P > 3.33 \\ K_D > 0 > -\frac{1}{\alpha_3} = -0.74 \\ \alpha_2\alpha_3K_D^2 + (\alpha_2 - \tau\alpha_1\alpha_3 + \alpha_3^2K_P)K_D + (\alpha_3 - \tau\alpha_2)K_P = f > 0 \end{cases}$$

➤ 选择 $K_P=10$ 、 $K_D=5$ 时，闭环系统稳定，闭环极点:

$$S_1 = -35.2477$$

$$S_2 = -2.4674$$

$$S_3 = -1.0348$$



Valid gains for which  
 $f > 0$ . See Equation. (6.33).

## 6.5 设计实例

- 希望有外部扰动时机器人控制的摩托车保持竖直。

从扰动  $T_d(s)$  到输出  $\Phi(s)$  的开环传递函数：

$$\frac{\phi(s)}{T_d(s)} = \frac{1}{s^2 - \alpha_1}$$

特征方程：  $q(s) = s^2 - \alpha_1 = 0$

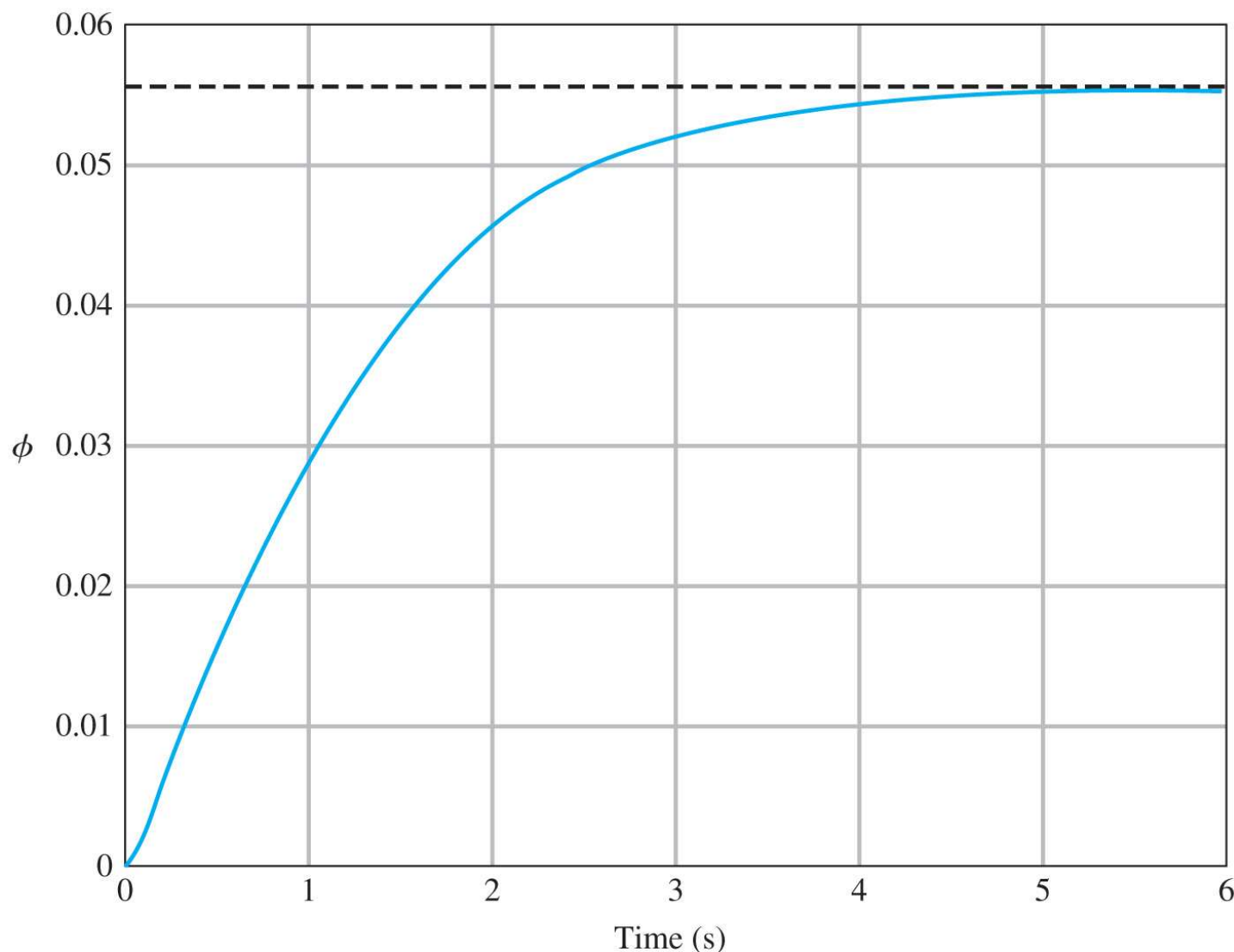
系统极点：  $s_1 = -\sqrt{\alpha_1}$  ,  $s_2 = +\sqrt{\alpha_1}$

- 存在右半  $S$  平面极点，系统开环不稳定，任何一点扰动都会使摩托车跌倒
- 采用反馈控制器、机器人控制器，从扰动到输出的闭环传递函数为：

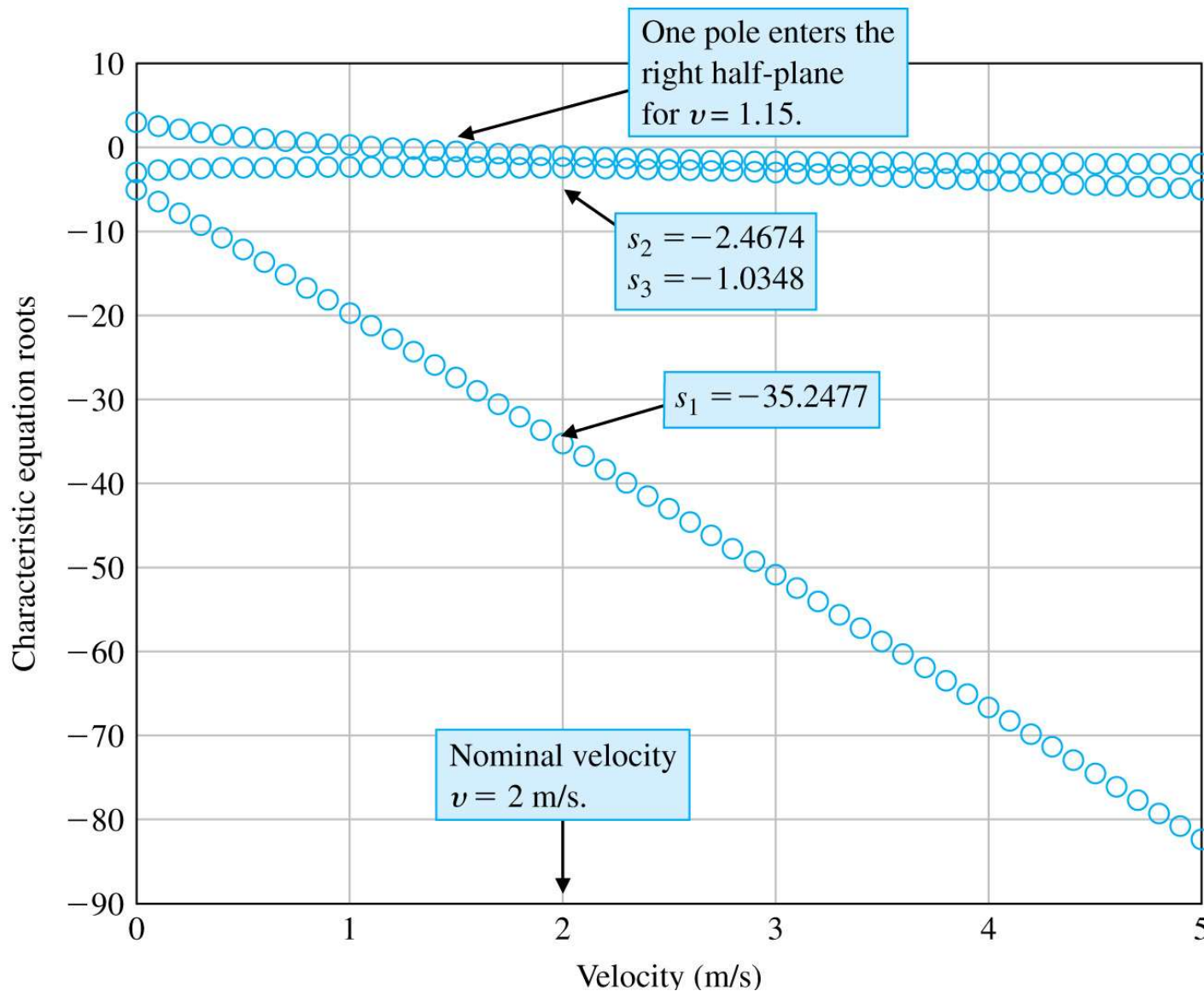
$$\frac{\phi(s)}{T_d(s)} = \frac{\tau s + 1}{\tau s^3 + (1 + K_D \alpha_3) s^2 + (K_D \alpha_2 + K_P \alpha_3 - \tau \alpha_1) s + K_P \alpha_2 - \alpha_1}$$



## 6.5 设计实例



单位阶跃扰动响应,  $K_p=10$ ,  $K_D=5$   
摩托车保持竖直, 略有倾斜,  $\phi=0.055 \text{ rad}=3.18^\circ$



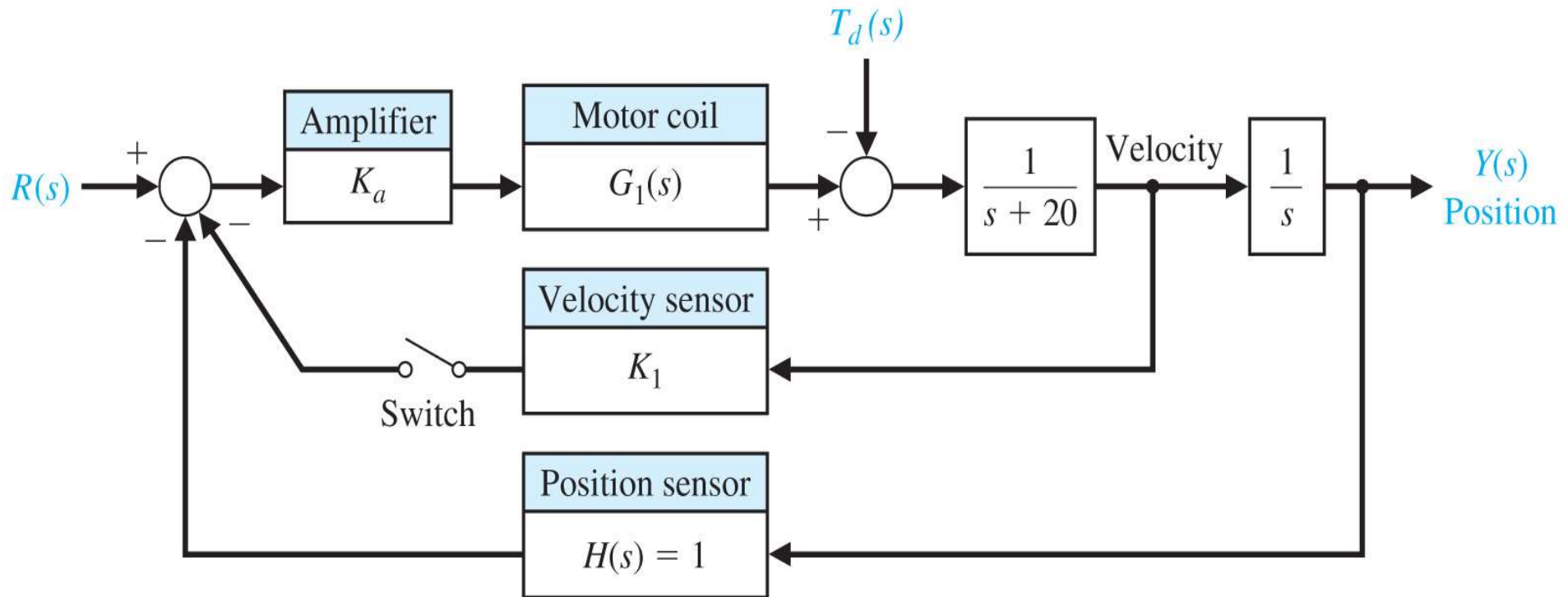
$K_P=10$ 、 $K_D=5$ 时特征方程的根随前进速度 $v$ 的变化  
速度增大相对稳定性增加，速度减小稳定性变差  
 $v=1.15 \text{ m/s}$ 时，出现一个不稳定根，摩托车不稳定



## 6.6 应用控制设计软件分析系统稳定性 (略)

## 6.7 系列设计案例：磁盘驱动器读取系统

带有可选择的速度反馈的闭环磁盘驱动器读取系统



➤ 没有速度反馈时的闭环传递函数：

$$\frac{Y(s)}{R(s)} = \frac{K_a G_1(s) G_2(s)}{1 + K_a G_1(s) G_2(s)}$$

## 6.7 系列设计案例：磁盘驱动器读取系统

$$G_1(s) = \frac{5000}{s + 1000}, \quad G_2(s) = \frac{1}{s(s + 20)}$$

➤ 闭环系统特征方程：

$$1 + K_a G_1(s) G_2(s) = 0$$

$$1 + K_a \frac{5000}{s + 1000} \times \frac{1}{s(s + 20)} = 0$$

$$s(s + 20)(s + 1000) + 5000K_a = 0$$

$$s^3 + 1020s^2 + 20000s + 5000K_a = 0$$

## 6.7 系列设计案例：磁盘驱动器读取系统

➤ *Routh*阵列：

$$\begin{array}{c|cc} s^3 & 1 & 20000 \\ s^2 & 1020 & 5000K_a \\ s^1 & b_1 & \\ s^0 & 5000K_a & \end{array} \quad b_1 = -\frac{5000K_a - 1020 \times 20000}{1020}$$

➤ 闭环系统稳定的条件。为保证闭环稳定，要求：

$$b_1 > 0 \rightarrow K_a < 4080$$

$$K_a > 0$$

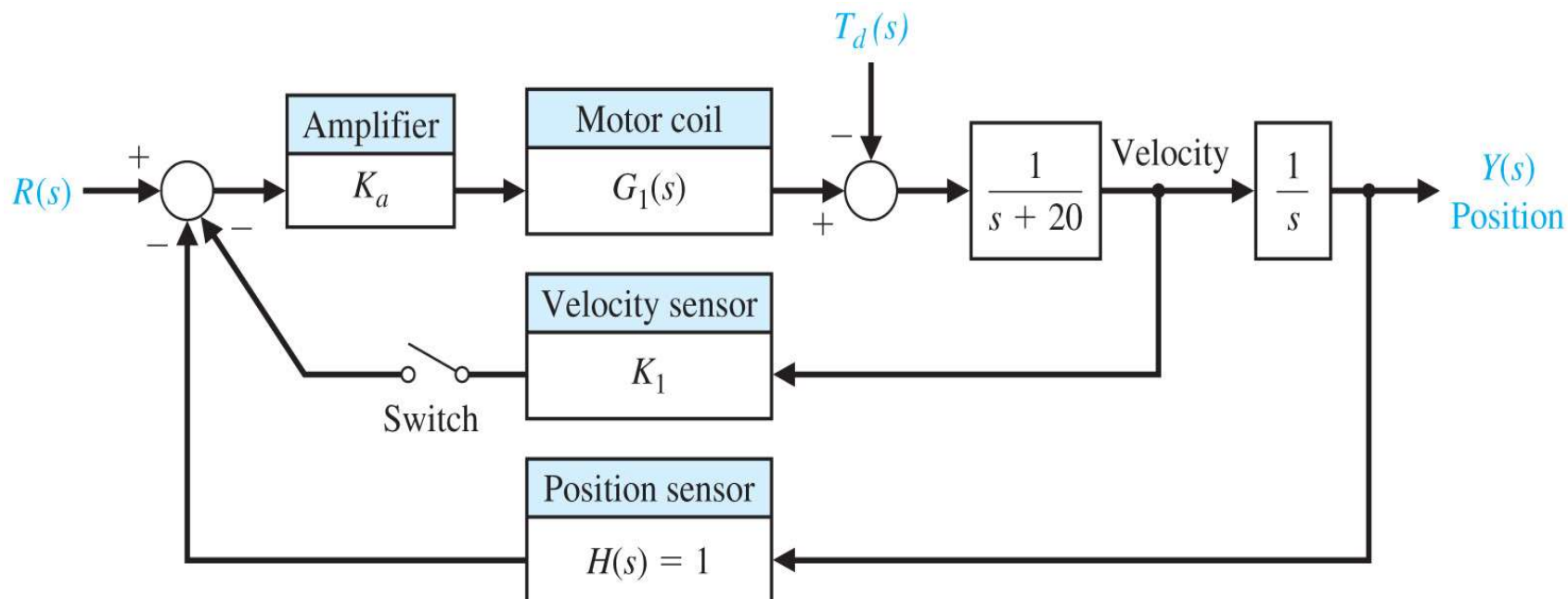
因而要求： $0 < K_a < 4080$

➤  $K_a = 4080$ 时， $b_1 = 0$ ，系统临界稳定。由辅助方程：

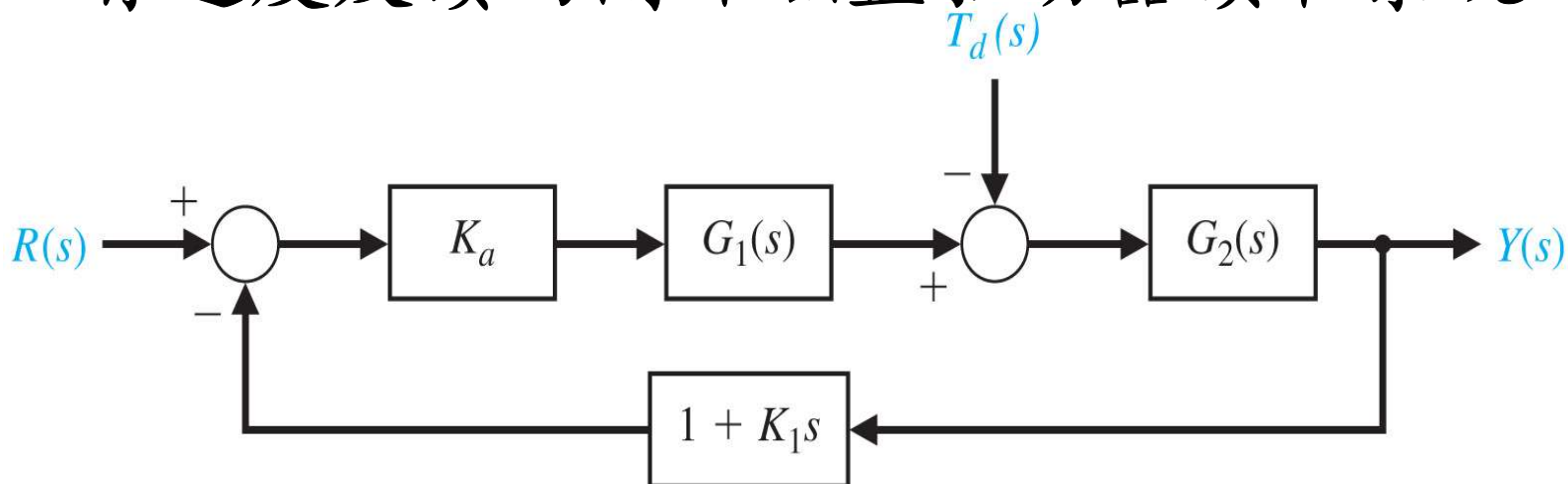
$$1020S^2 + 5000(4080) = 0, \text{ 得: } S^2 + 20000 = 0$$

➤ 系统在虚轴上有极点  $S = \pm j141.4$

## 6.7 系列设计案例：磁盘驱动器读取系统



有速度反馈的闭环磁盘驱动器读取系统



速度反馈开关闭合时的等价系统

## 6.7 系列设计案例：磁盘驱动器读取系统

➤ 有速度反馈时的闭环传递函数：

$$\frac{Y(s)}{R(s)} = \frac{K_a G_1(s) G_2(s)}{1 + K_a G_1(s) G_2(s) H'(s)}$$

➤ 等价的反馈通道传递函数： $H'(S)=1+K_1S$

➤ 闭环系统特征方程： $1+K_a G_1(S)G_2(S)H'(S)=0$

$$1 + K_a \times \frac{5000}{s + 1000} \times \frac{1}{s(s + 20)} \times (1 + K_1 s) = 0$$

$$S(S+20)(S+1000)+5000K_a(1+K_1S)=0$$

$$S^3 + 1020S^2 + (20000 + 5000K_aK_1)S + 5000K_a = 0$$

## 6.7 系列设计案例：磁盘驱动器读取系统

➤ *Routh* 阵列：

$$\begin{array}{c|cc} s^3 & 1 & 20000 + 5000K_aK_1 \\ s^2 & 1020 & 5000K_a \\ s^1 & b_1 & \\ s^0 & 5000K_a & \end{array}$$

$$b_1 = -\frac{5000K_a - 1020 \times (20000 + 5000K_aK_1)}{1020}$$

➤ 为保证闭环系统稳定，要求：

$$\begin{cases} b_1 > 0 \\ K_a > 0 \end{cases} \Rightarrow K_a(1 - 1020K_1) < 4080$$

## 6.7 系列设计案例：磁盘驱动器读取系统

➤ 在 $K_a > 0$ 时，选择 $K_a$ 、 $K_1$ ，使 $b_1 > 0$

➤ 选 $K_a = 100$ ， $K_1 = 0.05$ ，则系统性能指标为：

■ 百分比超调量**0%**

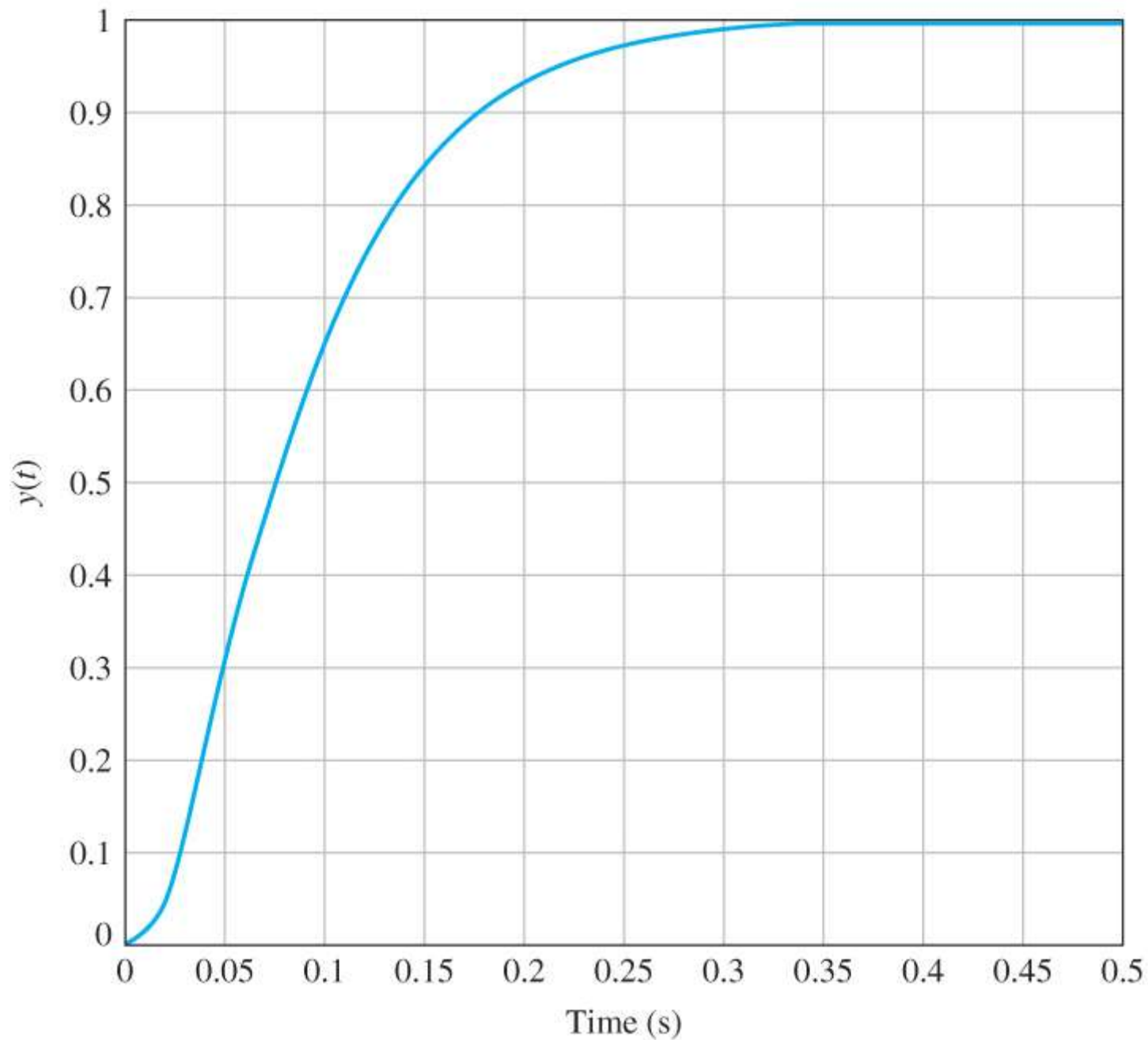
■ 2%允许误差的调整时间**260 ms**

性能指标	期望值	实际值
百分比超调量	<b>&lt;5%</b>	<b>0%</b>
调整时间	<b>&lt;250 ms</b>	<b>260 ms</b>
单位扰动的最大响应	<b><math>5 \times 10^3</math></b>	<b><math>2 \times 10^3</math></b>

磁盘驱动器系统性能与设计指标的对比

➤ 需要重新选择 $K_1$ 以满足调整时间





有速度反馈的系统响应： $K_a=100$ 、 $K_1=0.05$

## 6.8 总结

- 反馈控制系统稳定性
- 有界输入有界输出 (**BIBO**) 稳定性
- **BIBO**稳定性与系统传递函数极点在 $S$ 平面上位置的关系
- *Routh-Hurwitz*稳定性判据
- 相对稳定性

**THE END**